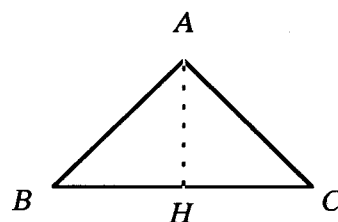


# Compito di Meccanica Razionale

Trieste, 7 giugno 2010

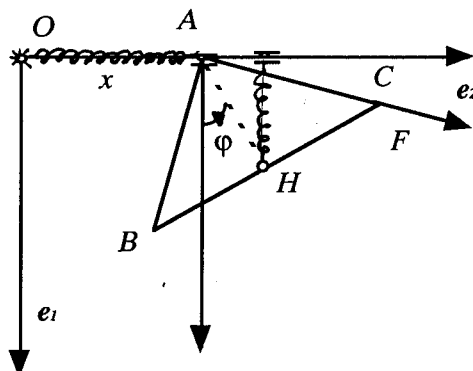
(G. Tondo)



È data una lamina triangolare omogenea di massa  $m$ , i cui lati hanno lunghezza  $\overline{AB} = \overline{AC} = l$  e  $\overline{BC} = l\sqrt{2}$

- 1) Calcolare il baricentro della lamina e il suo momento d'inerzia rispetto all'asse passante per il baricentro e ortogonale al piano della lamina.

## STATICÀ.



Si vincoli la lamina in un piano verticale con una cerniera liscia in  $A$  e scorrevole su un asse orizzontale. Le forze attive sono: la forza  $\mathbf{F}_C = F_{vers}(\mathbf{C} - \mathbf{A})$  applicata in  $C$ , la forza di richiamo delle due molle, di costante elastica  $c$ , il peso proprio della lamina.

- 2) Determinare tutte le configurazioni di equilibrio in funzione dei parametri del sistema;
- 3) calcolare le reazioni vincolari in  $A$  all'equilibrio.

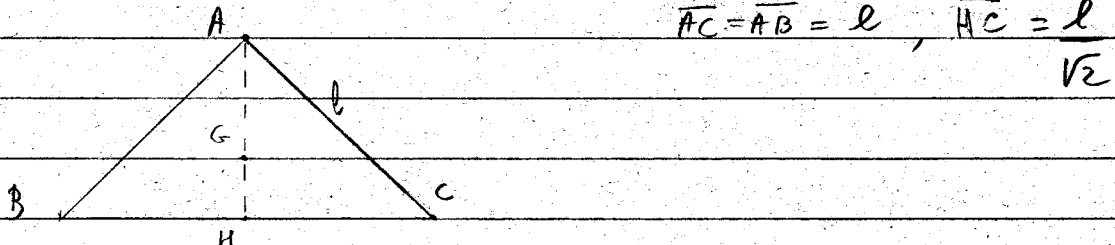
## DINAMICA.

Inoltre si chiede di:

- 4) scrivere due equazioni differenziali pure di moto;
- 5) dire se l'energia meccanica è un integrale primo di moto e, in caso affermativo, determinarla (esame da 6 CFU);
- 5a) linearizzare le equazioni del moto in un intorno delle configurazioni di equilibrio che esistono per qualunque valore dei parametri (esame da 9 CFU);
- 6) calcolare le reazioni vincolari in  $A$  durante il moto in funzione delle coordinate libere e delle loro derivate rispetto al tempo.

Tema del 7/06/2010

1)

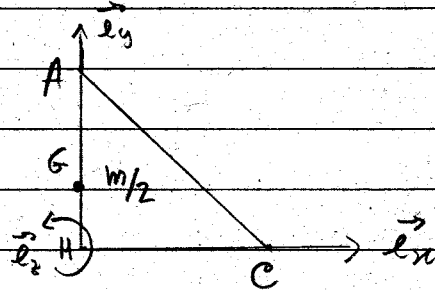


$$\overline{AC} = \overline{AB} = l, \quad \overline{HC} = \frac{l}{\sqrt{2}}$$

Il barycentro della lamina triangolare omogenea sta sulle mediane  $\overline{AH}$ ,  
asse di simmetria (ortogonale, in questo caso) a distanza dal vertice  
 $A$  pari a  $\frac{2}{3} \overline{AH}$ . Quindi,

$$\overline{AH} = \frac{l}{\sqrt{2}} \Rightarrow \overline{AG} = \frac{2l}{3\sqrt{2}} = \frac{\sqrt{2}}{3} l, \quad \overline{GH} = \frac{l}{3\sqrt{2}}$$

L'asse passante per  $G$  e  $\perp$  alla lamina è un API( $G$ ), quindi  
indichiamo con  $J_{zG}$  il momento d'inerzia relativo. Per  
calcolarlo, consideriamo il triangolo  $AHC$ , che è metà della  
lamina.



e ricordiamo che

$$I_x = \frac{1}{6} \left(\frac{m}{2}\right) \overline{AH}^2 = I_y = \frac{m}{12} \frac{l^2}{2} = \frac{1}{24} ml^2.$$

△

Pertanto, per il triangolo  $AHC$

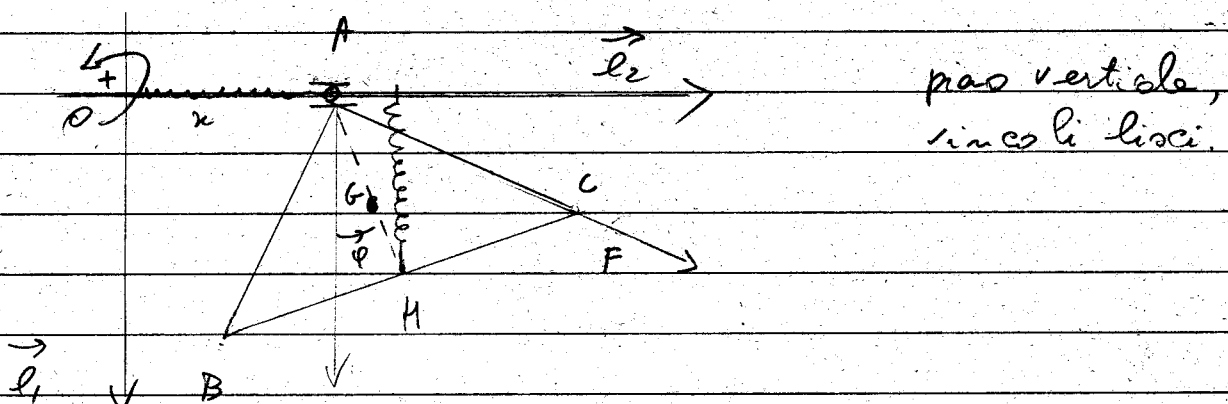
$$I_{zH} = 2 I_x = \frac{1}{12} ml^2,$$

e quindi, per l'intera lamina  $ABC$ , regge, per simmetria, che  
 $J_{zH} = 2 I_{zH} = \frac{1}{6} ml^2$ .

In fine, applicando il Teo. di Hugues - Steiner alla lamina ABC si ottiene

$$J_{3G} = \bar{J}_{2u} - m \overline{GM}^2 = \frac{1}{6} ml^2 - m \frac{l^2}{9 \cdot 2} = \frac{2}{9} ml^2 = \frac{1}{9} ml^2$$

Statico



Analisi cinematica:  $g = 3$ ,  $v = r = 1$ ,  $\ell = 2$ , c.d.  $(\varphi, x)$ ,  $\dot{x}, \ddot{x}, \dot{\varphi}, \ddot{\varphi}$

2) Utilizziamo il PLV tenendo conto che per un rigido

$$\text{LV}^{(\alpha*)} = R \cdot \sum \vec{n}_A + \vec{M}_A^{(\alpha*)} \cdot \vec{x} \quad \delta \vec{x}_A = \delta x \vec{e}_3 + \delta \varphi \vec{e}_3 \quad \vec{x} = \delta \varphi \vec{e}_3 + \delta x$$

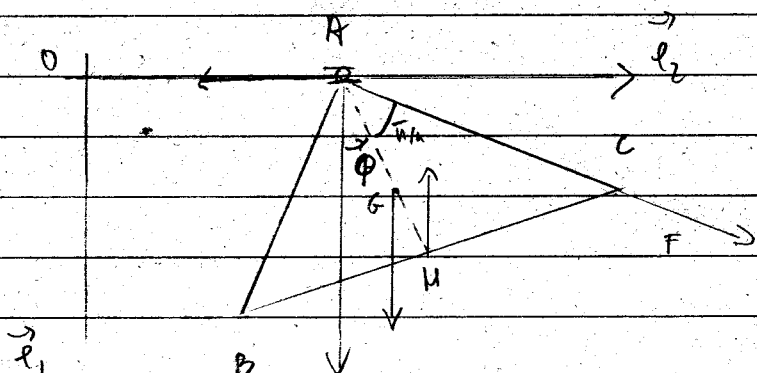


Diagramma delle forze

attive

$$\vec{F}_A = -c x \vec{e}_2$$

$$\vec{F}_G = m g \vec{e}_1$$

$$\vec{F}_u = -c \bar{A} \bar{H} \cos \varphi \vec{e}_1 = -c \frac{l}{\sqrt{2}} \cos \varphi \vec{e}_1$$

$$\vec{R}'^{(\alpha*)} \cdot \sum \vec{n}_A = (\vec{F}_A + \vec{F}_G + \vec{F}_u + \vec{F}_C) \cdot \delta x \vec{e}_2$$

$$= \left( -c x \vec{e}_2 + m g \vec{e}_1 - c l \cos \varphi \vec{e}_1 + F \left[ \cos \left( \varphi + \frac{\pi}{4} \right) \vec{e}_1 + \sin \left( \varphi + \frac{\pi}{4} \right) \vec{e}_2 \right] \right) \cdot \delta x \vec{e}_2$$

$$= [-c x + F \sin \left( \varphi + \frac{\pi}{4} \right)] \delta x$$

$$\vec{F}_C = F \text{ verso } (C-A) =$$

$$= F \left[ \cos \left( \varphi + \frac{\pi}{4} \right) \vec{e}_1 + \sin \left( \varphi + \frac{\pi}{4} \right) \vec{e}_2 \right]$$

$$\begin{aligned}
 \vec{M}_n^{(0)} \cdot \delta \varphi \vec{e}_3 &= (\bar{G} - A) \times \vec{F}_g + (1 - A) \times \vec{F}_u + (-A) \times \vec{F}_c \\
 (3.1) \quad &= (-\bar{A} G \sin \varphi \ mg + \bar{A} H \sin \varphi \ \bar{A} H \cos \varphi) \delta \varphi \\
 &= \left( -\frac{\sqrt{2}}{3} l \ mg \sin \varphi + \left(\frac{l}{\sqrt{2}}\right)^2 c \ \sin \varphi \cos \varphi \right) \delta \varphi
 \end{aligned}$$

Pertanto,

$$(3.2) \quad LV^{(0)} = \left[ -cx + F \sin \left( \varphi + \frac{\pi}{4} \right) \right] \left[ \delta x + \left[ l \sin \varphi \left( \frac{cl \cos \varphi - mg \sqrt{2}}{2} - \frac{mg \sqrt{2}}{3} \right) \right] \delta \varphi \right]$$

Cioè implica che

$$(3.3) \quad Q_x = -cx + F \sin \left( \varphi + \frac{\pi}{4} \right)$$

$$(3.4) \quad Q_\varphi = cl^2 \sin \varphi \left( \frac{1}{2} \cos \varphi - \frac{mg}{cl} \frac{\sqrt{2}}{3} \right)$$

N.B. Si può verificare che, in questo caso,

$$(3.5) \quad Q_x = \vec{B} \cdot \overset{\text{ext}}{\vec{e}_2}, \quad Q_\varphi = \overset{\text{ext}}{\vec{M}_n} \cdot \vec{e}_3$$

Dunque, le eq. pure di equilibrio sono:

$$\begin{cases} -cx + F \sin \left( \varphi + \frac{\pi}{4} \right) = 0 \\ cl^2 \sin \varphi \left( \frac{1}{2} \cos \varphi - \frac{mg}{cl} \frac{\sqrt{2}}{3} \right) = 0 \end{cases}
 \quad (3.6)$$

Il sistema (3.6) è equivalente ai due sistemi

$$\begin{cases} x = \frac{F}{c} \sin \left( \varphi + \frac{\pi}{4} \right) \\ \sin \varphi = 0 \end{cases} \quad (3.7) \quad \begin{cases} x = \frac{F}{c} \sin \left( \varphi + \frac{\pi}{4} \right) \\ \cos \varphi = \frac{2 \sqrt{2} mg}{3 cl} = \lambda \end{cases}$$

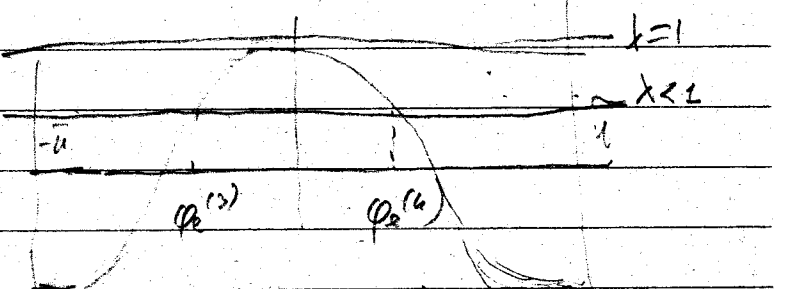
Allora, le soluzioni  $\vec{q}_e = (\varphi_e, \omega_e)$  di (3.7) sono

$$\vec{q}_e^{(1)} = \left( 0, \frac{F}{c\sqrt{2}} \right), \quad \vec{q}_e^{(2)} = \left( \bar{\alpha}, -\frac{F}{c\sqrt{2}} \right)$$

Risolviamo il sistema (3.8)

$$x = \frac{E}{c\sqrt{2}} (\sin \varphi_e + c \cos \varphi_e)$$

$$c \cos \varphi_e = \lambda$$



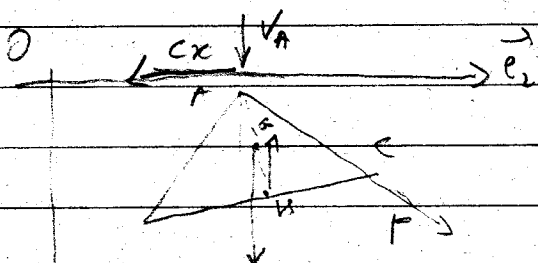
$$\varphi_e^{(3)} = -\varphi_e^{(4)}, \quad \sin \varphi_e^{(3)} = -\sqrt{1-\lambda^2}$$

$$\varphi_e^{(4)} = \arccos \lambda, \quad \sin \varphi_e^{(4)} = \sqrt{1-\lambda^2}$$

Quindi, se  $\lambda < 1$  esistono anche

$$\vec{q}_e^{(3)} = (-\arccos \lambda, \frac{F}{c\sqrt{2}} (\lambda - \sqrt{1-\lambda^2})), \quad \vec{q}_e^{(4)} = (\arccos \lambda, \frac{F}{c\sqrt{2}} (\lambda + \sqrt{1-\lambda^2}))$$

3) Reazioni vincolari in A



Dalle I ECS proiettate lungo  $\vec{e}_1$  segue che

$$V_A + m\dot{\varphi} - c \frac{l}{\sqrt{2}} \cos \varphi_e + F \cos(\varphi_e + \frac{\pi}{4}) = 0, \quad (3.9)$$

cioè

$$V_A = -m\dot{\varphi} + c \frac{l}{\sqrt{2}} \cos \varphi_e - \frac{F}{\sqrt{2}} (\cos \varphi_e - \sin \varphi_e)$$

Allora

$$V_A|_{\vec{q}_e^{(1)}} = -m\dot{\varphi} + c \frac{l}{\sqrt{2}} - \frac{F}{\sqrt{2}}, \quad V_A|_{\vec{q}_e^{(2)}} = -m\dot{\varphi} - c \frac{l}{\sqrt{2}} + \frac{F}{\sqrt{2}}$$

$$V_A|_{\vec{q}_e^{(3)}} = -m\dot{\varphi} + c \frac{l}{\sqrt{2}} \lambda - \frac{F}{\sqrt{2}} (\lambda + \sqrt{1-\lambda^2}), \quad V_A|_{\vec{q}_e^{(4)}} = -m\dot{\varphi} + c \frac{l}{\sqrt{2}} \lambda - \frac{F}{\sqrt{2}} (\lambda - \sqrt{1-\lambda^2})$$

# Dinamica

Scriviamo le eq. di Lagrange non conservative. Calcoliamo l'energia cinetica delle lame (che non ha punti fermi).

$$(5.1) \quad K = \frac{1}{2} m v_6^2 + \frac{1}{2} J_{36} \dot{\varphi}^2 \quad J_{36} = \frac{1}{8} m l^2$$

$$(5.2) \quad \vec{x}_6 = \vec{x}_0 + (\vec{x}_0 - \vec{x}_n) = x \vec{e}_1 + \frac{2l}{3\sqrt{2}} (\cos \varphi \vec{e}_1 + \sin \varphi \vec{e}_2) = \frac{2l \cos \varphi}{3\sqrt{2}} \vec{e}_1 + \left( x + \frac{2l \sin \varphi}{3\sqrt{2}} \right) \vec{e}_2$$

$$(5.3) \quad \vec{v}_6 = \frac{2l}{3\sqrt{2}} (-\sin \varphi \dot{\varphi}) \vec{e}_1 + \left( \dot{x} + \frac{2l \cos \varphi \dot{\varphi}}{3\sqrt{2}} \right) \vec{e}_2$$

$$(5.4) \quad v_6^2 = \left( \frac{\sqrt{2}}{3} l \right)^2 \sin^2 \dot{\varphi}^2 + \left( \dot{x} + \frac{\sqrt{2}}{3} l \cos \varphi \dot{\varphi} \right)^2 = \\ = \frac{(\sqrt{2} l)^2}{3} \dot{\varphi}^2 + \dot{x}^2 + \frac{2\sqrt{2} l \cos \varphi \dot{x} \dot{\varphi}}{3} = \\ = \frac{2l^2 \dot{\varphi}^2}{9} + \dot{x}^2 + \frac{2\sqrt{2} l \cos \varphi \dot{x} \dot{\varphi}}{3}$$

Quindi,

$$(5.5) \quad K = \frac{1}{2} m \left( \frac{2}{9} l^2 \dot{\varphi}^2 + \dot{x}^2 + \frac{2\sqrt{2} l \cos \varphi \dot{x} \dot{\varphi}}{3} \right) + \frac{1}{2} m l^2 \dot{\varphi}^2 \\ = \frac{1}{2} m \left( \frac{1}{3} l^2 \dot{\varphi}^2 + \dot{x}^2 + \frac{2\sqrt{2} l \cos \varphi \dot{x} \dot{\varphi}}{3} \right)$$

$$(5.6) \quad \frac{\partial K}{\partial \dot{\varphi}} = \frac{1}{3} m l^2 \dot{\varphi} + m \frac{\sqrt{2}}{3} l \cos \varphi \ddot{x}, \quad \frac{d}{dt} \left( \frac{\partial K}{\partial \dot{\varphi}} \right) = \frac{1}{3} m l^2 \ddot{\varphi} + \frac{\sqrt{2}}{3} m l (\cos \dot{x} - \sin \dot{x} \dot{\varphi})$$

$$(5.7) \quad \frac{\partial K}{\partial \varphi} = m \frac{\sqrt{2}}{3} l (-\sin \varphi) \dot{x} \dot{\varphi}$$

Quindi la EL è:

$$(5.8) \quad \frac{1}{3} m l^2 \ddot{\varphi} + \frac{\sqrt{2}}{3} m l (\cos \dot{x} - \sin \dot{x} \dot{\varphi}) + m \frac{\sqrt{2}}{3} l \sin \dot{x} \dot{\varphi} = \frac{l^2}{2} \sin \dot{x} (\cos \varphi - \lambda)$$

Inoltre

(6)

$$(6.1) \frac{\partial K}{\partial \dot{x}} = m\ddot{x} + \frac{m\sqrt{2}}{3} l \cos \varphi \dot{\varphi}, \quad \frac{d}{dt} \left( \frac{\partial K}{\partial \dot{x}} \right) = m\ddot{x} + \frac{m\sqrt{2}}{3} l \left( \cos \varphi \ddot{\varphi} - \sin \varphi \dot{\varphi}^2 \right)$$

$$\frac{\partial K}{\partial x} = 0$$

Pertanto, la II EL è:

$$(6.2) m\ddot{x} + \frac{m\sqrt{2}}{3} l \left( \cos \varphi \ddot{\varphi} - \sin \varphi \dot{\varphi}^2 \right) = -c x + F \sin \left( \varphi + \frac{\pi}{4} \right)$$

5) La sollecitazione attiva agente sul modello NON è conservativa.  
Infatti, dalle (3.3) e (3.4) segue

$$\frac{\partial Q_x}{\partial \varphi} \neq 0, \quad \frac{\partial Q_y}{\partial x} = 0 \Rightarrow \frac{\partial Q_x}{\partial \varphi} \neq \frac{\partial Q_y}{\partial x}$$

Pertanto, la sollecitazione non ammette energie potenziali  
e quindi non ha senso parlare di energie meccaniche  
del modello.

## 5) Linearizzazione delle EL

Si chiede di linearizzare le EL in un intorno delle configurazioni di equilibrio che esistono per qualunque valore del parmetro  $\lambda$ , quindi in un intorno di

$$\vec{q}_e^{(1)} = \left( 0, \frac{F}{C\sqrt{2}} \right), \quad \vec{q}_e^{(2)} = \left( \bar{u}, -\frac{F}{C\sqrt{2}} \right).$$

A tale scopo, ricordiamo che le equazioni linearizzate saranno

$$A \vec{\dot{q}} + B \vec{q} + C \vec{y} = \vec{0},$$

dove  $A$  è la matrice dell'energia cinetica volutata in  $\vec{q}_e$ ,  
 $B$  e  $C$  sono le matrici i cui elementi sono

$$B_{ijk} = \frac{\partial Q_i}{\partial \dot{q}_k} \Big|_{\vec{q}_e}, \quad C_{ijk} = \frac{\partial Q_i}{\partial q_k} \Big|_{\vec{q}_e}.$$

e il vettore  $\vec{y}$  è il vettore degli scarti delle configurazioni di equilibrio, cioè

$$\vec{y} = \vec{q} - \vec{q}_e.$$

In questo caso, dalla (5.5), dalle (3.3) e (3.4) si ricava

$$A(\vec{q}) = M \begin{bmatrix} \frac{1}{3} l^2 & \frac{\sqrt{2}}{3} l \cos \varphi \\ \frac{\sqrt{2}}{3} l \cos \varphi & \frac{l}{3} \end{bmatrix}, \quad \frac{\partial Q_i}{\partial \dot{q}_k} = 0 \quad \text{f. N.} = 1, 2$$

$$\begin{bmatrix} \frac{\partial Q_y}{\partial p} & \frac{\partial Q_x}{\partial u} \\ \frac{\partial p}{\partial \varphi} & \frac{\partial u}{\partial x} \end{bmatrix} = \begin{bmatrix} cl^2(\cos 2\varphi - \lambda \cos \varphi) \\ 2 \end{bmatrix}, \quad \begin{bmatrix} \frac{\partial Q_y}{\partial x} & \frac{\partial Q_x}{\partial u} \\ \frac{\partial u}{\partial \varphi} & \frac{\partial u}{\partial c} \end{bmatrix} = \begin{bmatrix} F \cos(\varphi + \bar{u}) \\ -c \end{bmatrix}$$

N.B. La matrice Jacobiana delle  $Q_j$  N.O N è singolare poiché il modello non è conservativo.

Allora, le EL linearizzate intorno a  $\vec{q}_e^{(1)}$  sono:

$$m \begin{bmatrix} \frac{l^2}{3} & \frac{\sqrt{2}}{3} l \ddot{\varphi} \\ \frac{\sqrt{2}}{3} l & 1 \end{bmatrix} \begin{bmatrix} \ddot{y}_1 \\ \ddot{y}_2 \end{bmatrix} = \begin{bmatrix} -\frac{cl^2(1-\lambda)}{2} & 0 \\ +\frac{F}{\sqrt{2}} & -c \end{bmatrix} \begin{bmatrix} y_1 \\ y_2 \end{bmatrix} = \begin{bmatrix} 0 \\ 0 \end{bmatrix}$$

e quindi, tenendo conto che

$$y_1 = \varphi - \varphi_e = \varphi ; \quad y_2 = x - x_e = x - \frac{F}{c\sqrt{2}}$$

si ottiene

$$\left\{ \begin{array}{l} m \frac{l^2}{3} \ddot{\varphi} + m \frac{\sqrt{2}}{3} l \ddot{x} - \frac{cl^2(1-\lambda)}{2} \varphi = 0 \\ m \frac{\sqrt{2}}{3} l \ddot{\varphi} + m \ddot{x} - \frac{F}{\sqrt{2}} \varphi + c \left( x - \frac{F}{c\sqrt{2}} \right) = 0 \end{array} \right.$$

Invece, le EL linearizzate intorno a  $\vec{q}_e^{(2)}$  sono:

$$m \begin{bmatrix} \frac{l^2}{3} & -\frac{\sqrt{2}}{3} l \ddot{\varphi} \\ -\frac{\sqrt{2}}{3} l & 1 \end{bmatrix} \begin{bmatrix} \ddot{y}_1 \\ \ddot{y}_2 \end{bmatrix} = \begin{bmatrix} \frac{cl^2(1+\lambda)}{2} & 0 \\ -\frac{F}{\sqrt{2}} & -c \end{bmatrix} \begin{bmatrix} y_1 \\ y_2 \end{bmatrix} = 0,$$

e quindi, tenendo conto che

$$y_1' = \varphi - \bar{u}, \quad y_2' = x + \frac{F}{c\sqrt{2}}$$

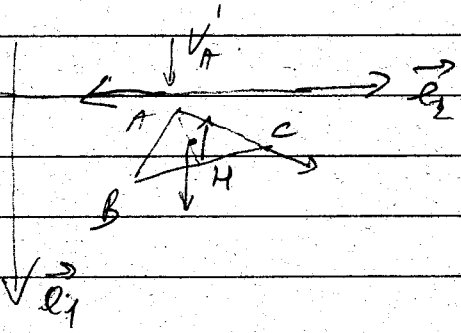
si ottiene

$$\left\{ \begin{array}{l} m \frac{l^2}{3} \ddot{\varphi} - m \frac{\sqrt{2}}{3} l \ddot{x} - \frac{cl^2(1+\lambda)}{2} (\varphi - \bar{u}) = 0 \\ -m \frac{\sqrt{2}}{3} l \ddot{\varphi} - m \ddot{x} + \frac{F}{\sqrt{2}} (\varphi - \bar{u}) + c \left( x + \frac{F}{c\sqrt{2}} \right) = 0 \end{array} \right.$$

19

### 6) Regimi vincolati indinamice

Le I E D proiettate lungo  $\vec{e}_1$ , da



$$(9.1) V_A' + mg - c \frac{l}{\sqrt{2}} \cos \varphi + F_{\text{cos}} \left( \varphi + \frac{\pi}{4} \right) = m \vec{a}_e \cdot \vec{e}_1$$

Dallo (5.3) ricaviamo

$$(9.2) \vec{a}_e = \frac{\sqrt{2}}{3} l (-\sin \varphi \ddot{\varphi} - \cos \varphi \dot{\varphi}^2) \vec{e}_1 + \left( i^\circ + \frac{\sqrt{2}}{3} l (\cos \varphi \ddot{\varphi} - \sin \varphi \dot{\varphi}^2) \right) \vec{e}_2.$$

Pertanto, da (9.1) ottiene

$$V_A' = -mg + c \frac{l}{\sqrt{2}} \cos \varphi - F_{\text{cos}} \left( \varphi + \frac{\pi}{4} \right) + m l \frac{\sqrt{2}}{3} \left( -\sin \varphi \ddot{\varphi} - \cos \varphi \dot{\varphi}^2 \right)$$